

ТЕЧЕНИЕ ВИХРЕВОГО ПОТОКА В ОКРЕСТНОСТИ КРИТИЧЕСКОЙ ТОЧКИ

И. А. БЕЛОВ, Л. И. ШУБ

(Ленинград)

Исследуется течение в окрестности критической точки преграды осесимметричного потока вязкой несжимаемой жидкости, когда в набегающий поток введены стационарные вихри, ориентированные в направлении угловой координаты. Приводится решение уравнения переноса вихря в случае внешнего потока, содержащего один вихрь наибольшей величины в низкочастотной части спектра. На основе использования конечного интегрального преобразования Ханкеля задача сведена к решению системы обыкновенных дифференциальных уравнений. Показано, что достаточно большой по величине вихрь может существенно влиять на структуру вязкого течения вблизи преграды.

Рассмотрим стационарное осесимметричное течение вязкой несжимаемой жидкости в цилиндрических координатах ξ , φ , ζ . Набегающий поток ограничен бесконечной плоской преградой с критической $\xi = 0$, $\zeta = 0$. Уравнения, определяющие течение жидкости, запишем в виде

$$v_r \frac{\partial \Omega}{\partial r} + v_z \frac{\partial \Omega}{\partial z} - \frac{v_r \Omega}{r} = \Delta \Omega - \frac{1}{r^2} \Omega \quad (1)$$

$$\Omega \equiv \Omega_\varphi = \frac{\partial v_r}{\partial z} - \frac{\partial v_z}{\partial r}, \quad v_r = \frac{1}{r} \frac{\partial \psi}{\partial z}, \quad v_z = -\frac{1}{r} \frac{\partial \psi}{\partial r} \quad (2)$$

$$r = \left(\frac{\beta}{\nu} \right)^{1/2} \xi, \quad z = \left(\frac{\beta}{\nu} \right)^{1/2} \zeta, \quad v_r = \frac{v_\xi}{(\beta \nu)^{1/2}},$$

$$v_z = \frac{v_\zeta}{(\beta \nu)^{1/2}}, \quad \Omega(r, z) = \frac{\Omega(\xi, \zeta)}{\beta}$$

Здесь ψ — функция тока, β — временная постоянная в окрестности критической точки, ν — кинематическая вязкость.

Известно точное решение (1), (2) для случая безвихревого набегающего потока [2]. В отличие от [2] предположим, что набегающий на преграду поток содержит спектр вихрей, распределенных по координате r с длинами волн $\lambda_1, \lambda_2, \dots, \lambda_n$, причем λ_1 — наибольшая или основная длина волны спектра.

На участке $0 \leq r \leq 1/2 \lambda_1$ распределение вихрей представим в виде

$$\Omega = - \sum_{n=1}^{\infty} A_n k_n z J_1(k_n r) \quad \left(k_n = \frac{2\alpha_n}{\lambda_1} \right) \quad (3)$$

Здесь α_n — n -й корень уравнения $J_1(r) = 0$. Тогда функция тока набегающего потока запишется так:

$$\psi(r, z) = r^2 z - \sum_{n=1}^{\infty} \frac{1}{k} A_n r z J_1(k_n r) \quad (4)$$

В (4) первый член представляет собой функцию тока невозмущенного движения; второй — функцию тока возмущающего движения. Задание Ω , ψ в набегающем потоке в форме (3), (4) позволяет рассматривать A_n как отношение величины n -го вихря спектра к средней величине вихря в вязком слое из-за касательных напряжений. Для того чтобы завихренность набегающего потока существенно влияла на структуру вязкого течения вблизи преграды, спектр вихрей должен содержать по крайней мере один вихрь с величиной A порядка единицы. Число k_n может рассматриваться как безразмерное волновое число n -го вихря. По определению волнового числа произведение $k_n \lambda_n$ есть постоянная величина для рассматриваемого участка $[0, \frac{1}{2}\lambda_1]$. Отсюда для определения длины волны n -го вихря спектра имеем соотношение $k_n \lambda_n = k_1 \lambda_1 = \text{const}$.

Учитывая (4), решение (1), (2) естественно искать в виде

$$\psi = r^2 f_0(z) - \sum_{n=1}^{\infty} \frac{1}{k_n} f_n(z) r J_1(k_n r) \quad (5)$$

Знак перед суммой в (5) связан с направлением вращения первого от оси z вихря. Знак минус указывает на направление вращения по часовой стрелке.

Рассмотрим случай, когда набегающий поток содержит один вихрь наибольшей величины (величины остальных вихрей пренебрежимо малы). Тогда, сопоставляя выражения (4) и (5), граничные условия для функций f_0 и f_n запишем в виде

$$f_0(0) = f_0'(0) = 0, \quad f_0'(\infty) = 1; \quad f_1(0) = f_1'(0) = 0, \quad f_1'(\infty) = A_1 \quad (6)$$

$$f_n(0) = f_n'(0) = 0, \quad f_n'(\infty) = 0 \quad (n=2,3,\dots)$$

Отметим, что, несмотря на характер граничных условий ($A_n = 0$ для всех $n \neq 1$), сохранение бесконечного числа членов в (5) необходимо вследствие нелинейности уравнения (1).

В предположении, что (5) является решением (1), (2), ряд, входящий в (5), сходится, так как по построению это — ряд Фурье — Бесселя для возмущающего движения. Анализ ограничим рассмотрением случая, когда основная длина волны достаточно велика, т. е. когда волновое число $k_1 \ll 1$. Как показано в работе [1], посвященной изучению турбулентных характеристик потока в окрестности критической точки, наибольшая часть турбулентной энергии концентрируется именно в низкочастотных компонентах вихря.

Если подставить (5) в уравнение (1) и пренебречь членами, содержащими k_n^2 , то полученное выражение после интегрирования по y от 0 до ∞ с учетом граничных условий (6) имеет вид

$$r^2 (f_0'''' + 2f_0 f_0' - f_0'^2 + 1) - \sum_n (f_n'''' + 2f_0 f_n'') \frac{1}{k_n} r J_1(k_n r) +$$

$$+ \sum_n (f_0' f_n' - f_0'' f_n - A_1) r^2 J_0(k_n r) - \sum_{n,i} \frac{1}{k_n} (f_n' f_i' - f_i f_n'' - A_1^2) \times$$

$$\times r J_0(k_i r) J_1(k_n r) + \sum_{n,i} \frac{1}{k_i k_n} (f_i' f_n' - A_1^2) J_1(k_i r) J_1(k_n r) \equiv L(r, z) = 0 \quad (7)$$

Суммирование по n, i в (7) производится для таких n, i , для которых условие $k_n, k_i \ll 1$ еще соблюдается. Отметим, что при $f_n \equiv 0$ выражение

(7) сводится к известному уравнению относительно f_0 , описывающему течение в окрестности критической точки в случае безвихревого набегающего потока [2].

Для решения задачи воспользуемся формулой конечного преобразования Ханкеля, применяя ее к выражению $\bar{L}(r, z)$ на участке $[0, \frac{1}{2}\lambda_1]$

$$\int_0^{\frac{1}{2}\lambda_1} L(r, z) r J_0(k_p r) dr = 0, \quad k_p = \frac{2\alpha_p}{\lambda_1} \quad (p=0, 1, 2, \dots) \quad (8)$$

В (8) произведем замену переменных

$$r = \frac{1}{2} \lambda_1 x, \quad 0 \leq x \leq 1$$

и введем обозначения $\alpha_n = \gamma$, $\alpha_i = \mu$, $\alpha_p = \kappa$. При этом по определению волнового числа $J_1(\gamma) = J_1(\mu) = J_1(\kappa) = 0$. Тогда с учетом (7) интеграл (8) примет вид

$$\int_0^1 L(x, z) x J_0(\kappa x) dx = 0 \quad (\kappa = 0, 3.83, 7.01, 10.17, \dots) \quad (9)$$

При различных κ отсюда имеем
при $\kappa = 0$

$$\int_0^1 \gamma x^2 J_1(\gamma x) dx = -\gamma \frac{\partial}{\partial \gamma} \int_0^1 x J_0(\gamma x) dx = -J_0(\gamma)$$

$$\int_0^1 x^3 J_0(\gamma x) dx = -\frac{1}{\gamma} \frac{\partial}{\partial \gamma} \gamma \frac{\partial}{\partial \gamma} \int_0^1 x J_0(\gamma x) dx = \frac{2}{\gamma^2} J_0(\gamma)$$

$$\int_0^1 x J_1(\gamma x) J_1(\mu x) dx = \frac{x}{\gamma^2 - \mu^2} [\mu J_1(\gamma x) J_0(\mu x) - \gamma J_1(\mu x) J_0(\gamma x)]|_{0^+} = 0 \quad (\gamma \neq \mu)$$

$$\int_0^1 x J_1^2(\gamma x) dx = -\frac{x}{\gamma} J_1(\gamma x) J_0(\gamma x)|_{0^+} + \frac{x^2}{2} [J_1^2(\gamma x) + J_0^2(\gamma x)]|_{0^+} = \frac{1}{2} J_0^2(\gamma)$$

$$\int_0^1 x^2 J_0(\mu x) J_1(\gamma x) dx = \frac{1}{\mu} \frac{\partial}{\partial \mu} \mu \int_0^1 x J_1(\mu x) J_1(\gamma x) dx =$$

$$= -\frac{x^2}{\gamma^2 - \mu^2} [\mu J_1(\gamma x) J_1(\mu x) + \gamma J_0(\gamma x) J_0(\mu x)]|_{0^+} + \frac{2\gamma x}{(\gamma^2 - \mu^2)^2} [\gamma J_1(\gamma x) J_0(\mu x) - \mu J_1(\mu x) J_0(\gamma x)]|_{0^+} = \frac{\gamma}{\mu^2 - \gamma^2} J_0(\gamma) J_0(\mu)$$

$$\int_0^1 x^2 J_0(\gamma x) J_1(\gamma x) dx = \frac{J_1^2(\gamma)}{2\gamma} = 0$$

при $\kappa \neq 0$

$$\int_0^1 x^3 J_0(\gamma x) J_0(\kappa x) dx = \frac{1}{\gamma} \frac{\partial}{\partial \gamma} \gamma \int_0^1 x^2 J_1(\gamma x) J_0(\kappa x) dx = \frac{2(\gamma^2 + \kappa^2)}{(\gamma^2 - \kappa^2)^2} J_0(\gamma) J_0(\kappa)$$

$$\sigma_{n,i,p} = \int_0^1 x^2 J_1(\gamma x) J_0(\mu x) J_0(\kappa x) dx, \quad \varepsilon_{n,i,p} = \int_0^1 x J_1(\gamma x) J_1(\mu x) J_0(\kappa x) dx$$

Приводим значения двух последних интегралов $\sigma_{n, i, p}$ и $\varepsilon_{n, i, p}$, вычисленных для конкретных $\gamma = \alpha_n$, $\mu = \alpha_i$, $\kappa = \alpha_p$

$\varepsilon = 0.0143$,	$\sigma = -0.0106$,	$\gamma = \mu = \kappa = 3.83$
$\varepsilon = 0.0356$,	$\sigma = 0.0006$,	$\gamma = \mu = \kappa = 7.015$
$\varepsilon = -0.0149$,	$\sigma = 0.0017$,	$\gamma = \mu = 3.83$, $\kappa = 7.015$
$\varepsilon = 0.0203$,	$\sigma = 0.0017$,	$\gamma = \kappa = 3.83$, $\mu = 7.015$
$\varepsilon = 0.0309$,	$\sigma = -0.00263$,	$\gamma = \kappa = 7.015$, $\mu = 3.83$
$\varepsilon = 0.0309$,	$\sigma = -0.0082$,	$\gamma = 3.83$, $\mu = \kappa = 7.015$
$\varepsilon = 0.0203$,	$\sigma = -0.0005$,	$\gamma = 7.015$, $\mu = \kappa = 3.83$
$\varepsilon = 0.0137$,	$\sigma = -0.00263$,	$\gamma = \mu = 7.015$, $\kappa = 3.83$

Подставляя при различных κ значения приведенных выше интегралов в (9), получаем $n + 1$ уравнений для определения функций f_0, f_n

$$f_0''' + 2f_0f_0'' - f_0'^2 + 1 = - \sum_n (f_n''' + 2f_0f_n'' + 2f_0'f_n' - 2f_0''f_n - 2A_1) \frac{4}{\alpha_n^2} J_0(\alpha_n) + \sum_{n \neq i} \frac{4}{\alpha_i^2 - \alpha_n^2} (f_n'f_i' - f_i f_n'') J_0(\alpha_n) J_0(\alpha_i) - \sum_n \frac{2}{\alpha_n^2} (f_n'^2 - 2f_n f_n'' - A_1^2) J_0^2(\alpha_n) \quad (10)$$

$$f_0''' + 2f_0f_0'' - f_0'^2 + 1 - \frac{1}{2} \sum_{n \neq p} \frac{\alpha_p^2}{\alpha_p^2 - \alpha_n^2} J_0(\alpha_n) (f_n''' + 2f_0f_n'') + \sum_{n \neq p} \frac{\alpha_p^2 (\alpha_n^2 + \alpha_p^2)}{(\alpha_n^2 - \alpha_p^2)^2} J_0(\alpha_n) (f_0'f_n' - f_0''f_n - A_1) + \frac{\alpha_p^2}{12} J_0(\alpha_p) (f_0'f_p' - f_p f_0'' - A_1) = \frac{1}{2} \sum_{i, n} \frac{\alpha_p^2}{\alpha_n} \frac{1}{J_0(\alpha_n)} (f_n'f_i' - f_i f_n'' - A_1^2) \sigma_{n, i, p} - \frac{1}{2} \sum_{i, n} \frac{\alpha_p^2}{\alpha_n \alpha_i} \frac{1}{J_0(\alpha_p)} (f_i'f_0' - A_1^2) \varepsilon_{n, i, p} \quad (p=1, 2, \dots, n) \quad (11)$$

Для решения приведенной системы уравнений используются граничные условия (6). Практическая сходимость рядов в (10), (11), как показали дальнейшие расчеты, достаточно высока, поэтому при приближенном решении можно ограничиться двумя членами указанных рядов. Система (10), (11) при $n, i = 1, 2$ имеет вид

$$f_0''' - f_0'^2 + 2f_0f_0'' + 1 = 0.44(f_0'f_1' - f_0''f_1 - A_1) - 0.76(f_0'f_2' - f_0''f_2) - 0.063(f_1'^2 - A_1^2) - 0.433f_1'f_2' + 0.078f_1f_2'' - 0.012f_2f_1'' \quad (12)$$

$$f_1''' - (2.16f_0' - 0.114f_1' - 0.7f_2')f_1' + (2f_0 + 0.46f_1)f_1'' + 2.16f_0''f_1 + (2.16A_1 - 0.114A_1^2) = -2.8(f_0'f_2' - f_0''f_2) \quad (13)$$

$$f_2''' - (2.85f_2' + 2.74f_1 + 0.41f_2')f_2' + (2f_0 + 1.7f_1)f_2'' + 2.85f_0''f_2 = 0.625(f_0'f_1' - f_0''f_1 - A_1) + 0.86(f_1'^2 - f_1f_1'' - A_1^2) + 0.3(f_1'^2 - A_1^2). \quad (14)$$

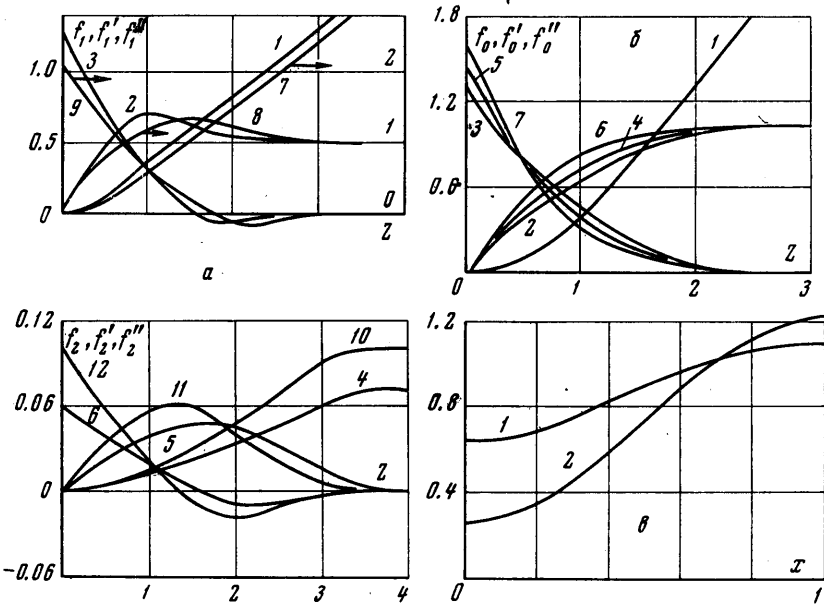
На фигурах, а, б представлены результаты приближенного решения уравнений (12) - (14) для $A_1 = 0.5$ и 1.0 , проведенного методом итераций на электронно-моделирующей машине ЭМУ-10. На фигуре, в приведены результаты расчета распре-

ления напряжения трения вдоль преграды в окрестности критической точки на участке $0 \leq x \leq 1$ по формуле

$$\tau^* = \frac{\tau_w}{(\tau_w)_{\Omega=0}} = \frac{1}{x [f_0''(0)]_{\Omega=0}} \left[x f_0''(0) - \sum_{n=1,2} \frac{1}{\alpha_n} f_n''(0) J_1(\alpha_n x) \right] \quad (15)$$

где индекс $\Omega = 0$ соответствует случаю натекания на преграду безвихревого потока.

Из последнего графика следует, что завихренность набегающего потока вызывает уменьшение напряжения трения вблизи критической точки; при удалении от крити-



а — график функций f_n ($n = 1, 2$) в разложении (7): 1 — (f_1), 2 — (f_1'), 3 — (f_1''), 4 — (f_2), 5 — (f_2'), 6 — (f_2'') при $A_1 = 0.5$; 7 — (f_1), 8 — (f_1'), 9 — (f_1''), 10 — (f_2), 11 — (f_2'), 12 — (f_2'') при $A_1 = 1.0$
 б — график функции f_0 в разложении (7): 1 — (f_0), 2 — (f_0'), 3 — (f_0'') при $A_1 = 0$; 4 — (f_0'), 5 — (f_0'') при $A_1 = 0.5$; 6 — (f_0'), 7 — (f_0'') при $A_1 = 1.0$
 в — распределение напряжения трения вдоль преграды на участке $0 \leq x \leq 1$: 1 — (τ^*) при $A_1 = 0.5$, 2 — (τ^*) при $A_1 = 1.0$

ческой точки напряжение трения возрастает. Согласно (15) напряжение трения меняется вдоль преграды периодически, чередование локального уменьшения и увеличения τ_w свидетельствует о наличии периодически распределенных вихрей вблизи преграды. Средняя по преграде величина напряжения трения (расстояние, на котором производится осреднение, достаточно велико по сравнению с длиной волны λ_1) превышает τ_w для безвихревого потока при $A_1 = 0.5$ в 1.11, а при $A_1 = 1.0$ в 1.26 раза.

ЛИТЕРАТУРА

Поступило 15 I 1969

1. Kueth A. M., Willmarth W. W. Stagnation point fluctuation on a body of revolution. Phys. Fluids, 1959, vol. 2, No. 6, p. 714.
2. Шлихтинг Г. Теория пограничного слоя. М., Изд-во иностр. лит., 1956.